

波打帯での沖岸漂砂量

東北大学工学部 学生員。 松原 格
東北大学大学院 学生員 小川由信
東北大学工学部 正会員 首藤伸夫

I 緒 言

波打帯における冲岸方向の砂移動は、海岸線の前進後退といふ海浜形状の変化に直接大きな影響があると思われる。しかし、研究例は少なく、信頼できる現地観測結果は皆無に等しい。

本研究では、このような波打帯の水理量と砂移動に関する現地観測結果を報告する。

2 現地観測

現地観測は宮城県東海岸において、1980年7月15日～17日、茨城県大洗海岸では8月24日～28日に行なった。これららの観測では図-1に示すような捕砂器を波峰線に平行に6個近接して砂中に設置し、1秒毎に捕砂することにより捕砂量の経時変化を調べた。波の周期はいずれも6秒程度である。そこで、一周期分の捕砂量の経時変化を調べたことになる。水連量は、捕砂と同時に16mmシネカムラ式水位計、電磁流速計で流速の経時変化を測定した。

3 現地観測結果

流速、水位、累加捕砂量の関係の一例を図-2,3に示す。これららは同じようく流速の変化を示しているにもかかわらず、その捕砂量に大きな違いが認められる。したがって、波打帯の砂移動は流速だけではなく水位変化す、大きく関係していることが考えられる。そこで、捕砂量を以下の4種に分類して考察することにした。(図-4)

タイプ① 波打の水深(以下前水深と書く)が零、すなわち、ドライベットに造り越される場合。

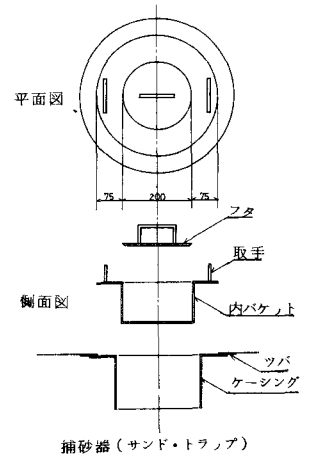
タイプ② 前水深が15cm以下と深く、強いもどり流れがある場合。

タイプ③ 前水深が15cm以上で、もどり流れが弱い場合。
これが比較的弱い場合。

タイプ④ もどり流れ。

これらのタイプは、捕砂量として最初の1秒間のものを用い、繰次元進砂量として $\frac{q}{U_{\text{max}}}$ 、繰次元進流速 $U_{\text{max}}^2 / s_{\text{g}} d_{\text{s}0}$ を用いて描くと図-5のように分類することができる。先の図-2,3はそれぞれタイプ①、タイプ③に相当する。以下、比較的取り扱いが容易な前水深が新しい場合(タイプ①)と前水深があつてももどり流れが比較的弱い場合(タイプ③)の2種類について検討を行なう。

・タイプ の捕砂量 タイプ①の捕砂量は図-2に示したように、最初の1秒が大きくな



捕砂器(サンド・トラップ)

図-1

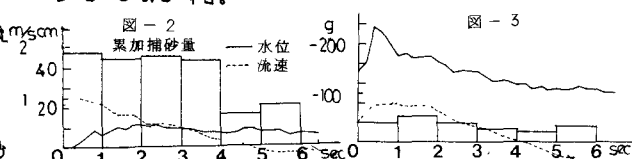
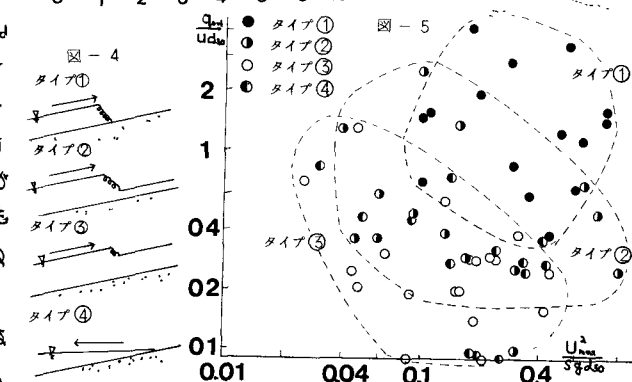


図-3



その後の経時変化は少ない。これは、サージングコロニトの亂れが砂移動の支配的因素をなすものと考えられる。乱れの大きさは、その波の最大水深 h_{max} と関係するとと思われ、無次元捕流力として $H_{max} \tan \alpha / s_{d50}$ (α は斜面の傾斜) を用いて整理すると図-6となる。資料は少ないが顯著な相関がみられる。同様に、 H_{max} の代りに $\sqrt{gh_{max}}$ を用いて整理したものが図-7である。図-6に比べて、多少相間が弱くなるが、水位より流速測定が直観なことを考えると便利な整理方法であろう。図中直線は無次元漂砂量が $1/2$ および 2 倍になる線である。

・タ1づ③の捕砂量

タ1づ③はもどり流れが比較的弱いものであり、前水槽を進行する碎波を想定すればよい。捕砂量もタ1づ①と同様に最初の 1 時間の量が多く砂移動は、ほとんごで波峰端の幾波の部分できまると考えてもさしつかえないであろう。重複波先の乱れの大きさはその重複波高 H に関係するとと思われ、また碎波先の乱れが水底のまき上げにおよぼす大きさは、前水深を用いて H/a で表されると思われる。無次元漂砂量 $q_{0-1}/U_{wind,50}$ と乱れの大きさ H/a で整理したものを図-8に示す。実測値はかなりばらつくが H/a の約 1.1 から捕砂量が急に減少している。これは次のように考えると説明される。すなわち、乱れの大きさ H/a が小さいと乱れたよ、てまき上げられた砂粒はさほど高くまき上げられず、底面に散置したトラップに捕砂される確率が高くなり、捕流砂を含ませ比較的多くの砂が捕砂されることとなる。逆に、乱れの大きさ H/a が大きいと、一度まき上げられた砂粒は浮遊砂となりトラップの上方を通過する確率が高くなり、トラップは捕流砂だけ捕砂されることになり捕砂量が少なくなる。また、このように考えると、図中の固れは荒浜海岸の観測値であるが、これの遷移高さがお側にずれてるのは、荒浜海岸の砂の粒度が大きく、遷移限界となる H/a の値が多少大きくなるためと考えることは不自然ではない。

以上の考察により、砂移動形態を模式的に表したもののが図-9である。曲線 A, B はそれぞれ全漂砂量および捕流砂量を表わし、曲線 A と B とに囲まれた領域は漂遊砂量を表わすと考えるのである。現状では、これらの曲線がどのような形をしているかはもちろんのこと、このような考え方を正しいかどうかを検証するなどのデータも無い。どちらにしても環境観測および水理実験を重ねることに及きる。

4 結論

波打帯の水理量と砂移動の関係を明らかにするためには、水位変化の状況により、捕砂量を分類することは資料を整理する上で有効である。また、これらからの課題としてはタ1づ別の資料を増やして以上のような相関がみられるかを検討する必要がある。また、捕砂器による漂砂、浮遊砂などのような捕砂されているかを、水理実験を通して解明していくことが重要である。

図-6

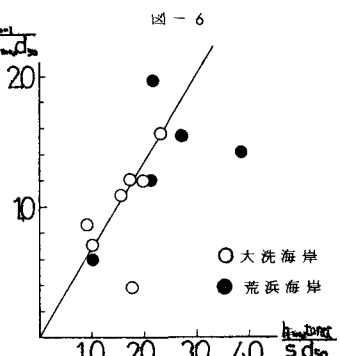


図-7

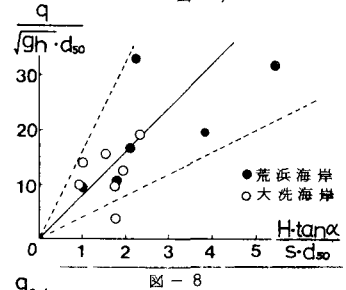


図-8

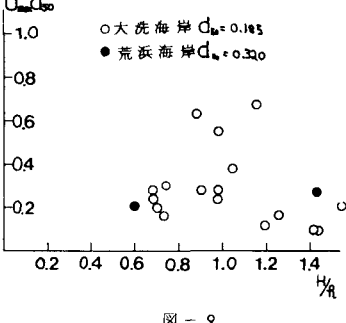


図-9

